

DOI: 10.13718/j.cnki.xdzk.2022.05.014

L-色氨酸-Hg²⁺-青霉胺体系的 荧光光谱及分析应用

闫晶晶¹, 张甜¹, 胡咏梅², 李政², 刘剑雄², 胡小莉¹

1. 西南大学 化学化工学院, 重庆 400715; 2. 成都市第二人民医院, 成都 610017

摘要: 基于 L-色氨酸(L-Trp)荧光猝灭与恢复, 建立了一种高灵敏度、高选择性检测 D-青霉胺(D-PA)的荧光分析方法。实验发现在 pH=4.8 的缓冲溶液中, Hg²⁺与 L-Trp 中的羧基结合, 猝灭 L-Trp 的荧光。随着 D-PA 的加入, 由于 Hg²⁺与 D-PA 的巯基产生更强的螯合作用, 导致 Hg²⁺脱离 L-Trp, 后者荧光恢复。据此设计了 IMPLICATION 逻辑门, 并用于 D-PA 的检测。在优化条件下, 荧光恢复程度与 D-PA 浓度在 0.44~50.0 μmol/L 范围内呈良好的线性关系, 检出限为 0.13 μmol/L。该方法用于青霉胺药片含量的测定, 结果满意。

关 键 词: L-色氨酸; D-青霉胺; 荧光光谱; 逻辑门

中图分类号: O657.3

文献标志码: A

文章 编 号: 1673-9868(2022)05-0119-06

开放科学(资源服务)标识码(OSID):



Fluorescence Spectra and Analytical Applications of L-tryptophan-Hg²⁺-penicillamine System

YAN Jingjing¹, ZHANG Tian¹, HU Yongmei²,
LI Zheng², LIU Jianxiong², HU Xiaoli¹

1. School of Chemistry and Chemical Engineering, Southwest University, Chongqing 400715, China;

2. Chengdu Second People's Hospital, Chengdu 610017, China

Abstract: A highly sensitive and selective fluorescence method for detection of D-penicillamine (D-PA) was designed based on the “OFF-ON” fluorescence switch mode of L-tryptophan (L-Trp). The fluorescence of L-Trp turned OFF due to the effective reaction between carboxyl group of L-Trp and Hg²⁺ in pH 4.8 BR buffer. The thiol group in D-PA could compete with L-Trp for chelating Hg²⁺, which turned ON the fluorescence of L-Trp. An IMPLICATION logic gate was designed and used for D-PA detection. Under optimized conditions, a good linear relationship was shown between fluorescence recovery and D-PA concentration in range of 0.44~50.0 μmol/L with the detection limit of 0.13 μmol/L. The method was used for the determination of D-PA in medicine with satisfactory results.

Key words: L-tryptophan; D-penicillamine; fluorescence; logic gate

收稿日期: 2021-04-05

基金项目: 国家自然科学基金项目(21705132); 成都市卫生健康委员会资助项目(2021029).

作者简介: 闫晶晶, 硕士研究生, 主要从事分子光谱研究.

通信作者: 胡咏梅: 主任医师; 胡小莉, 教授.

青霉胺(3,3-二甲基半胱氨酸, PA)是青霉素的代谢产物, 也是一种含巯基氨基酸^[1]。同时青霉胺也是一种具有药理作用的手性化合物, 用于治疗多种疾病, 如威尔逊氏病、类风湿性关节炎、硬皮病及重金属中毒等^[2]。青霉胺作为手性化合物, 存在 D-青霉胺(D-PA)和 L-青霉胺两种对映异构体, 它们的药效及毒理作用差别很大, 其中 L-PA 有一定毒副作用, 只有 D-PA 有治疗疾病的作用。世界卫生组织已经将 D-PA 列为基础医疗中的必备药品。因此, 建立简单、快速、高灵敏、高选择检测 D-PA 的方法具有重要意义。目前报道的检测 D-PA 的主要方法有电化学发光^[3]、电化学法^[4]、分光光度法^[5]、HPLC 法^[6]、圆二色性法^[7]和离子色谱法^[8]。此外, 荧光光谱法相比于其他方法更简单、高效, 且灵敏度更高。近年来, 已有较多测定 D-PA 的荧光法报道^[9-11], 但是有的荧光探针合成步骤复杂繁琐, 限制了方法的使用。本研究利用一种简单易得的荧光探针来检测 D-PA。研究发现, L-色氨酸(L-Trp)在 352 nm 处有很强的荧光发射峰, 随着 Hg²⁺ 的加入, L-Trp 荧光被猝灭。接着加入 D-PA, L-Trp 的荧光得到恢复, 据此建立了一种“开-关”模型来检测 D-PA, 其反应机理见图 1。

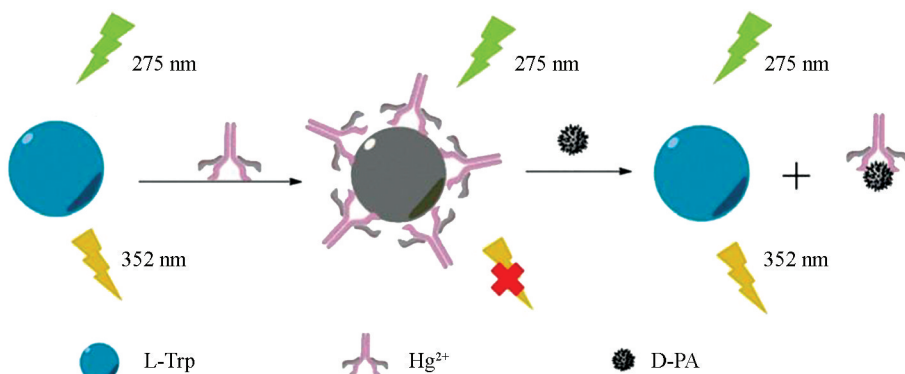


图 1 L-Trp 测定 D-PA 的反应机理

1 实验部分

1.1 实验仪器与材料

Hitachi F-2500 型荧光分光光度计(日立科学仪器有限公司, 日本); UV-2450 型紫外-可见分光光度计(岛津公司, 日本); pH SJ-4F 酸度计(上海仪电科学仪器股份有限公司, 上海)。

L-Trp、D-PA(阿拉丁试剂有限公司, 上海); HgCl₂(四川科伦医药贸易有限公司, 成都); Britton-Robinson 缓冲溶液: 2.71 mL 85% 磷酸(重庆北碚化学试剂厂, 重庆), 2.36 mL 冰醋酸(重庆川东化工有限公司, 重庆)和 2.47 g 硼酸(重庆北碚化学试剂厂, 重庆)溶于 1.0 L 蒸馏水中, 用 0.2 mol/L NaOH 调节不同 pH 值。实验过程中所用水均为超纯水。

1.2 实验方法

在 10.0 mL 的比色管中依次加入 pH=4.8 的 BR 缓冲溶液 1.0 mL, 0.5 mL 4.0 × 10⁻⁴ mol/L L-色氨酸, 0.5 mL 1.0 × 10⁻² mol/L Hg²⁺ 和一系列不同浓度的 D-PA, 用蒸馏水定容至刻度后摇匀, 在室温下静置 15 min。在荧光分光光度计上以 $\lambda_{ex}=275$ nm 激发, 进行波长扫描, 记录体系的荧光光谱, 并在波长 352 nm 处测定样品和试剂空白的荧光强度, $\Delta F=F-F_0$ 。狭缝宽度为 10 nm。

2 结果与讨论

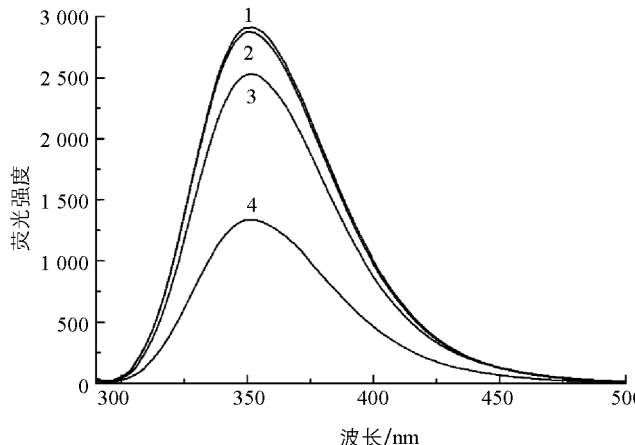
2.1 荧光光谱

以最大激发波长 275 nm 对 L-Trp 溶液进行荧光光谱扫描, 发现其最大荧光峰位于 352 nm 处(图 2 中曲线 1), 而 Hg²⁺ 和 D-PA 均无荧光。L-Trp 与 D-PA 溶液混合, L-Trp 的荧光强度几乎没有变化(图 2 中曲线 2)。然而, 在一定浓度的 L-Trp 中加入适量 Hg²⁺ 后, 由于 Hg²⁺ 与 L-Trp 结构中的羧基结合, 使得 L-Trp 在 352 nm 的荧光猝灭^[12](图 2 中曲线 4), 接着向溶液中加入与 Hg²⁺ 结合能力更强的 D-PA, L-Trp 被释放出来, 溶液荧光逐渐得到恢复(图 2 中曲线 3)。

2.2 反应条件优化

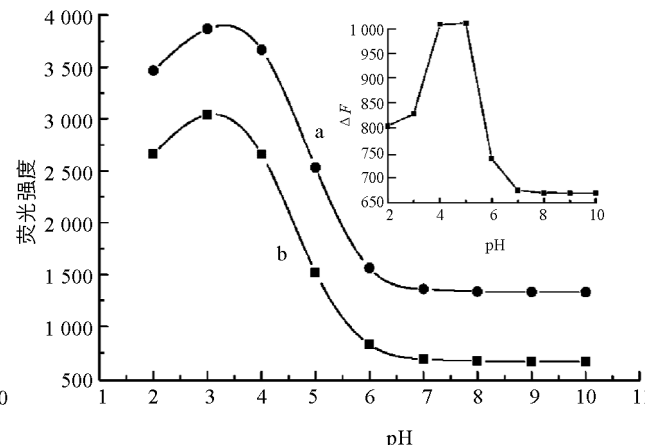
2.2.1 pH 值的影响

实验探究了不同 pH 值的 BR 缓冲溶液对反应体系的影响。由图 3 可知, L-Trp-Hg²⁺ 和 L-Trp-Hg²⁺-D-PA 两个反应体系的荧光强度在 pH=2.0~3.1 范围逐渐增强, pH=3.1~7.2 之间荧光逐渐减弱, 但荧光恢复值(ΔF)在 pH=4.0~5.0 时最大(图 3 插图)。因此本实验选用 pH=4.8 的 BR 溶液为反应介质。



1. L-Trp; 2. L-Trp+D-PA; 3. L-Trp+Hg²⁺+D-PA; 4. L-Trp+Hg²⁺; $c_{\text{L-Trp}} = 2.0 \times 10^{-5} \text{ mol/L}$; $c_{\text{Hg}}^{2+} = 5.0 \times 10^{-4} \text{ mol/L}$; $c_{\text{D-PA}} = 5.0 \times 10^{-5} \text{ mol/L}$; pH=4.8.

图 2 L-Trp-Hg²⁺-D-PA 体系的荧光光谱



a. $c_{\text{D-PA}} = 2.0 \times 10^{-5} \text{ mol/L}$; b. $c_{\text{D-PA}} = 0$.

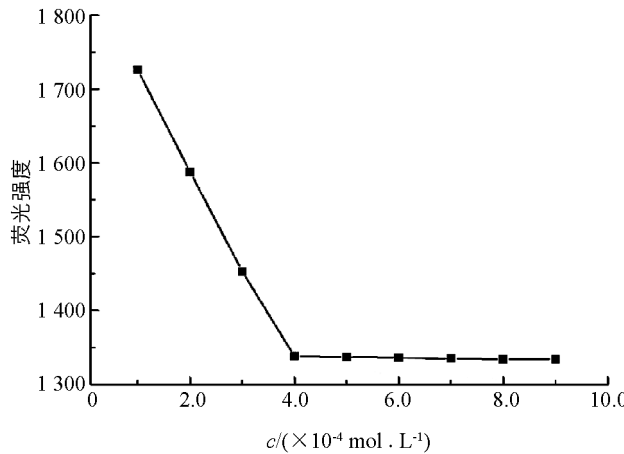
图 3 pH 值对反应体系荧光强度的影响

2.2.2 Hg²⁺ 浓度的影响

L-Trp 作为一种常见天然氨基酸, 已有文献报道 Hg²⁺ 可以与羧基螯合从而猝灭 L-Trp 的荧光^[13]。如图 4 所示, 在 Hg²⁺ 浓度为 $4.0 \times 10^{-4} \text{ mol/L}$ 时, L-Trp 荧光猝灭程度最大, 且随着 Hg²⁺ 继续加入, 荧光强度保持不变。故本实验选择 $5.0 \times 10^{-4} \text{ mol/L}$ 为 Hg²⁺ 后续实验浓度。

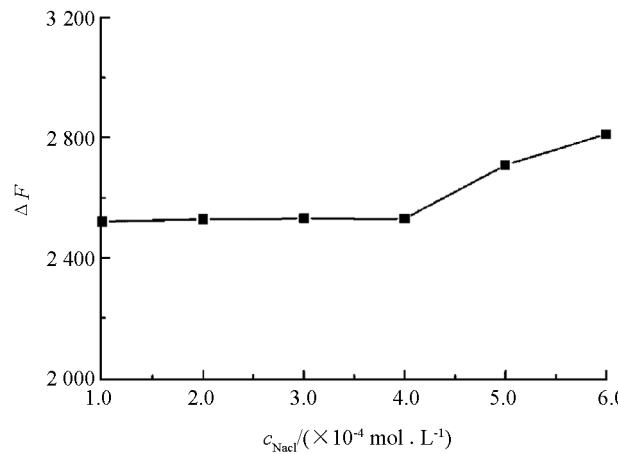
2.2.3 离子强度和反应时间的影响

研究了离子强度对三元反应体系的影响(图 5), 当 NaCl 浓度低于 $4.0 \times 10^{-4} \text{ mol/L}$ 时, 反应体系荧光强度较稳定; 当 NaCl 浓度高于 $4.0 \times 10^{-4} \text{ mol/L}$ 时, 荧光强度有所增加, 因此, 在实际样品检测过程中要注意控制离子强度, 避免高浓度盐类的引入。此外, 实验发现 L-Trp 的荧光在 15 min 恢复到最大值并且在 1 h 内保持稳定, 因此选择 15 min 为反应时间。



$c_{\text{L-Trp}} = 2.0 \times 10^{-5} \text{ mol/L}$; pH=4.8.

图 4 Hg²⁺ 浓度对 L-Trp 荧光强度的影响



$c_{\text{L-Trp}} = 2.0 \times 10^{-5} \text{ mol/L}$, $c_{\text{Hg}}^{2+} = 5.0 \times 10^{-4} \text{ mol/L}$, $c_{\text{D-PA}} = 5.0 \times 10^{-5} \text{ mol/L}$, pH=4.8.

图 5 离子强度的影响

2.3 方法的选择性

为了考察该方法的选择性, 在优化的实验条件下, 探究了 20 种常见物质对测定 D-PA 的影响。当共存物质引起的荧光强度改变在相对误差 $\pm 5\%$ 之内, 通常认为不会对检测造成影响。由表 1 可知, 常见的金属离子、氨基酸、糖类对 D-PA 的检测几乎没有影响, 表明本法具有较好的选择性, 可以应用于实际样品的检测。

表 1 共存物质的影响($c_{D-PA} = 5.0 \times 10^{-5}$ mol/L)

共存物	浓度/($\times 10^{-5}$ mol·L $^{-1}$)	相对误差/%	共存物	浓度/($\times 10^{-5}$ mol·L $^{-1}$)	相对误差/%
KAl(SO ₄) ₂	500.0	-3.2	NH ₄ Cl	750.0	-2.6
Fe ₂ (SO ₄) ₃	380.0	3.9	NaF	600.0	3.2
CoSO ₄	460.0	-4.4	淀粉	710	3.7
CuSO ₄	50.0	-4.0	果糖	500.0	4.5
ZnSO ₄	530.0	4.8	葡萄糖	450.0	5.0
NiSO ₄	500.0	3.5	精氨酸	30.0	-4.8
PdCl ₂	70.0	4.1	甘氨酸	100.0	-3.6
MnSO ₄	450.0	-3.5	L-酪氨酸	160.0	-4.5
NaNO ₃	100.0	3.6	L-丝氨酸	500.0	-4.9
MgCl ₂	660.0	-3.8	L-天门冬氨酸	30.0	-4.8

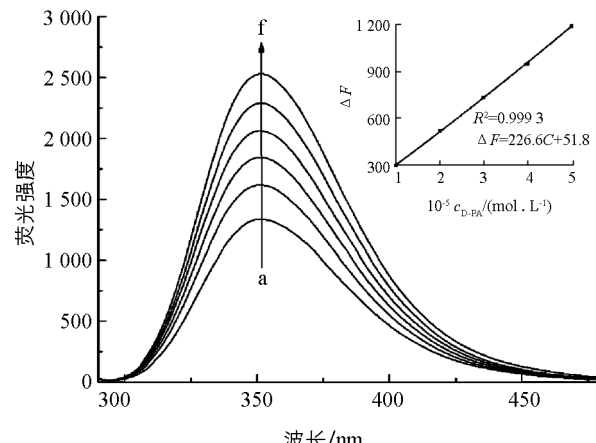
2.4 标准曲线

按照前述实验方法, 测定不同 D-PA 浓度下反应体系的荧光强度。如图 6 所示, 随着 D-PA 的加入, L-Trp 的荧光逐渐恢复, 荧光恢复程度(ΔF)与 D-PA 浓度在 $0.44 \sim 50.0 \mu\text{mol/L}$ 范围内呈现良好的线性关系(图 6 插图), 线性回归方程为 $\Delta F = 226.6 C + 51.8$, 相关系数为 0.999 3, 检出限($3\sigma/K$)达 $0.13 \mu\text{mol/L}$ 。表 2 列出了本法与其他方法测定 D-PA 的比较, 由此可以看出, 本法灵敏度高, 操作简单, 更具有实用价值。

2.5 逻辑门的模拟应用

分子传感器与目标分析物协同作用, 对反应条件进行信息处理, 将一个或多个反应条件作为输入信

号, 荧光信号的改变作为输出信号^[14]。基于荧光响应可以通过 Hg²⁺ 和 D-PA 的加入来回切换, 体系荧光强度进入“on-off-on”模式, 为此构建了 IMPLICATION 逻辑门^[15]。以 L-Trp 作为一种逻辑门装置, 设定 Hg²⁺(输入 1)和 D-PA(输入 2)为输入信号, 352 nm 处荧光强度为输出信号, 0 和 1 分别代表荧光猝灭和未猝灭。无信号输入(0, 0)或只有 D-PA 输入(0, 1), 352 nm 处荧光吸收很强, 输出为 1; 单独 Hg²⁺ 输入(0, 1)时, 荧光猝灭, 输出为 0。当两者同时输入(1, 1)时, L-Trp 荧光恢复, 输出为 1。表 3 为逻辑门对应的真值表, 图 7 为荧光输出 IMPLICATION 逻辑图。



$c_{L-Trp} = 2.0 \times 10^{-5}$ mol/L, $c_{Hg^{2+}} = 5.0 \times 10^{-4}$ mol/L, $c_{D-PA} \times 10^{-5}$ mol/L/a-f=0.0, 1.0, 2.0, 3.0, 4.0, 5.0.

图 6 探针对不同浓度 D-PA 的荧光响应

表 2 测定 D-PA 的不同方法的比较

方法	试剂与材料	检出限/ ($\mu\text{mol} \cdot \text{L}^{-1}$)	评价
电化学发光法 ^[3]	碳纳米片	33.0	灵敏度较低
电化学法 ^[4]	碳糊电极	0.7	合成步骤较复杂
分光光度法 ^[5]	[Ru(CN) ₆] ⁴⁻	0.25	检出限较低, 但合成步骤较繁琐, 需要使用贵金属
高效液相色谱法 ^[6]	C18 柱	0.03	灵敏度高, 可同时进行多组分检测, 但需要使用有机溶剂
圆二色性法 ^[7]	CdS 量子点	0.49	步骤复杂, 不适宜常规检测
荧光法 ^[9]	银离子, 碳点	5.62	合成步骤较繁琐
荧光法 ^[10]	CdTe 量子点	3.3	合成步骤较繁琐
荧光法 ^[11]	碳点	0.6	合成步骤较繁琐
荧光法(本研究)	L-Trp-Hg ²⁺	0.13	简单、灵敏、选择性好, 适用于日常测定

表 3 逻辑门真值表

输入 1 (Hg ²⁺)	输入 2 (D-PA)	输出荧光
0	0	1(高)
0	1	1(高)
1	0	0(低)
1	1	1(高)

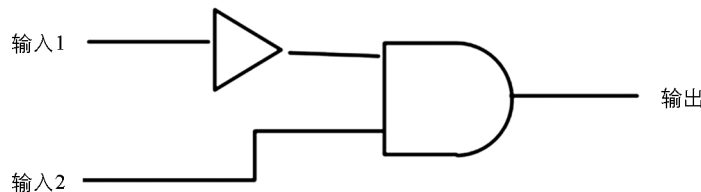


图 7 IMPLICATION 逻辑图

2.6 实际样品的测定

为了评价本方法的适用性和有效性, 将本方法用于青霉胺药片中 D-PA 含量检测。随机选 10 片药片(上海信谊药厂有限公司), 研细。称取相当于 0.25 片质量的样品, 溶解、过滤、除去不溶物, 最后定容至 500.0 mL 容量瓶中, 备用。吸取 0.5 mL 待测液于 10.0 mL 比色管中进行检测, 结果见表 4。通过标准加入法测得回收率和相对标准偏差分别为 96.0%~103.8% 和 2.8%~4.0%, 表明本方法具有较高的准确度和较好的重复性, 可以用于实际样品的测定。

表 4 药片中 D-PA 的测定结果

样品	标称量/ ($\text{g} \cdot \text{片}^{-1}$)	D-PA 测得值/ ($\text{g} \cdot \text{片}^{-1}$)	D-PA 加入量/ ($\text{g} \cdot \text{片}^{-1}$)	D-PA 测得值/ ($\text{g} \cdot \text{片}^{-1}$)	回收率/ %	RSD/ %
1			0.025	0.146	96.0	3.2
2	0.125	0.122	0.053	0.177	103.8	2.8
3			0.109	0.228	97.2	4.0

注: $n=5$ 。

3 结论

利用 Hg²⁺ 与 D-PA 之间的强螯合作用, 使得 Hg²⁺ 脱离 L-Trp, L-Trp 荧光得到恢复, 从而设计了分子

逻辑门，并建立了 D-PA 的荧光检测新方法。本方法相较于其他方法，简单易行、选择性好、灵敏度高，无需精密的仪器和复杂的合成步骤，适用于青霉胺药片含量的测定。

参考文献：

- [1] SULIMAN F E O, AL-LAWATI Z H, AL-KINDY S M Z. A Spectrofluorimetric Sequential Injection Method for the Determination of Penicillamine Using Fluorescamine in the Presence of Beta-Cyclodextrins [J]. Journal of Fluorescence, 2008, 18(6): 1131-1138.
- [2] 陈新谦, 金有豫, 汤光, 等. 新编药物学 [M]. 13 版. 北京: 人民卫生出版社, 1992.
- [3] LIN X, ZHU S, WANG Q H, et al. Chiral Recognition of Penicillamine Enantiomers Using Hemoglobin and Gold Nanoparticles Functionalized Graphite-Like Carbon Nitride Nanosheets via Electrochemiluminescence [J]. Colloids and Surfaces B: Biointerfaces, 2016, 148: 371-376.
- [4] ZHAI Y B, ZHUANG H Y, PEI M S, et al. The Development of a Conjugated Polyelectrolytes Derivative Based Fluorescence Switch and Its Application in Penicillamine Detection [J]. Journal of Molecular Liquids, 2015, 202: 153-157.
- [5] LI B L, LUO J H, LUO H Q, et al. A Novel Strategy for Selective Determination of D-Penicillamine Based on Molecularly Imprinted Polypyrrole Electrode via the Electrochemical Oxidation with Ferrocyanide [J]. Sensors and Actuators B: Chemical, 2013, 186: 96-102.
- [6] SARACINO M A, CANNISTRACI C, BUGAMELLI F, et al. A Novel HPLC-Electrochemical Detection Approach for the Determination of D-Penicillamine in Skin Specimens [J]. Talanta, 2013, 103: 355-360.
- [7] NGAMDEE K, PUANGMALI T, TUNTULANI T, et al. Circular Dichroism Sensor Based on Cadmium Sulfide Quantum Dots for Chiral Identification and Detection of Penicillamine [J]. Analytica Chimica Acta, 2015, 898: 93-100.
- [8] 李茜, 宋汉敏, 刘英. 离子色谱法测定青霉胺片的含量及有关物质 [J]. 药物分析杂志, 2020, 40(4): 698-706.
- [9] 李玲芳, 王琦. 荧光碳点的制备及银离子辅助的点亮型识别青霉胺 [J]. 无机化学学报, 2020, 36(11): 2055-2062.
- [10] 周晓燕, 李在均, 王光丽, 等. 手性 CdTe 量子点制备及在药物青霉胺对映体检测中的应用 [J]. 分析试验室, 2013, 32(9): 1-5.
- [11] YUAN Y S, ZHAO X, LIU S P, et al. A Fluorescence Switch Sensor Used for D-Penicillamine Sensing and Logic Gate Based on the Fluorescence Recovery of Carbon Dots [J]. Sensors and Actuators B: Chemical, 2016, 236: 565-573.
- [12] NEUPANE L N, PARK J Y, PARK J H, et al. Turn-on Fluorescent Chemosensor Based on an Amino Acid for Pb(II) and Hg(II) Ions in Aqueous Solutions and Role of Tryptophan for Sensing [J]. Organic Letters, 2013, 15(2): 254-257.
- [13] WAN X J, LI S F, ZHUANG L L, et al. L-Tryptophan-Capped Carbon Quantum Dots for the Sensitive and Selective Fluorescence Detection of Mercury Ion in Aqueous Solution [J]. Journal of Nanoparticle Research, 2016, 18(7): 1-9.
- [14] NEELAM, SINGH V, SHANKAR B, et al. Molecular Logic Operations Based on Optical Detection of Sulfur Mustard Simulant Using Pyridine Appended Mg-Porphyrazine Complex [J]. Sensors and Actuators B: Chemical, 2016, 227: 85-91.
- [15] SINGH G, SINGH J, SINGH J, et al. Design of Selective 8-Methylquinolinol Based Ratiometric Fe²⁺ and Fe³⁺/H₂PO₄⁻ Fluorescent Chemosensor Mimicking NOR and IMPLICATION Logic Gates [J]. Journal of Luminescence, 2015, 165: 123-129.

责任编辑 潘春燕